

九州大学工学部 正員 山内豊聰  
 三省建設(株) 正員○阿南公幸  
 九州大学工学部 吉田 豊

1. まえがき 軟弱地盤中に締固めた砂ぐいを打設して、支持力を与えるとともに地下水の抑制を計るサンドコンパクションパイル工法が、軟弱地盤改良工法の一つになっている。昨今、砂不足に対応するとともに、廃材利用の促進という時代の要請から、サンドコンパクションパイルの砂を、転炉さい代替えすることが考えられる。この研究は、転炉さいを用いたサンドコンパクションパイル工法の実用性を推進するとともに、その設計に必要な諸数値を提示することを目的として行なった。

2. 過去の調査研究 落鉱炉さいでも、高炉さいは主として路盤材料として、事実、高い等価換算係数が得られるため、かなり以前から十分実用に供せられてきている。しかし転炉さいは、その膨張性のゆえに路盤に用いるにはまだ問題が多い。転炉さいの膨張率は、一例として1%程度である。しかし、水さいまたは石灰を緩和剤として添加するときは、膨張がかなり抑えられるばかりではなく、強度も増加する。このように、転炉さいを路盤材料に用いるには性質の調整が複雑になるため、目下のところ、前述のように軟弱地盤改良に粒状材料として利用する方向に調査研究が進められているのが実情である。

3. 使用した転炉さいの性質 この研究で使用した転炉さいは、住友金属小倉製鉄所から供給されるもので、その物理的性質と継固め特性は表-1, 2に示すとおりであった。化学成分については、転炉さいにおいてCaOが、水さいにおいてSiO<sub>2</sub>がもっとも多量に含まれていることが両者の大きな相違点であるが、その影響や生かし方については、まだ今後研究すべきことが多い。

4. 室内実験 転炉さいを砂の代替えとして、サンドコンパクションパイルとして利用するさい、設計上問題にされるのは、それが現場でいくらの内部摩擦角φになるか、またこのφの値と標準貫入試験によるN値とのような関係をもつかということである。そこでこの研究は、1.4m×1.4mの断面積で、深さ1.0mのコンクリート製ボックスのなかに転炉さいを打設して、乾燥密度γとN値の関係を調べる一方、継固め供試体について、通常の三軸圧縮試験(刀刃試験)を行なって、φとNの関係を見出して、φ, N, φの相互関係を求めることを行なった。前記ボックス内の転炉さいの密度は、通常の砂置換法によって行なった。三軸試験に供する継固め供試体は、現場で地下水水面以下に打設されることを考えて、週1回24時間水浸養生した。それら3種の値を、転炉さいのけの場合についてまとめたのが図-1であり、φの增大にともなってN値とφが増大することが示されたが、この図は、時間の経過に伴なう固結作用を無視する場合、すなわち、打設直後の数値を推定するために、そのまま实用上役立つデータである。

5. 現場実験 転炉さいならびにそれに水さいを添加したいを用いた軟弱地盤改良の現場実験は北九州市新門司の埋立地で行なわれたが、くいの配列などを示したのが図-2である。この実験におけるそれら2種のくいの深さ方向のN値の分布状態は、図-3に示すように、月のオーダーでの時間経過に伴なって固結が顕著である。

表-1 試料の物理的性質

種類	粒子比重	D <sub>10</sub> (mm)	D <sub>60</sub> (mm)	均等係数 D <sub>60</sub> /D <sub>10</sub>
転炉さい	3.56	1.3	0.2	6.5
水さい(粉碎)	2.55	—	—	—
水さい(そのまま)	2.11	—	—	—
普通砂	2.69	1.0	0.3	3.3

表-2 試料の継固め特性

種類	D <sub>10</sub> max (g/cm <sup>3</sup> )	w <sub>opt</sub> (%)	D <sub>10</sub> min (g/cm <sup>3</sup> )
転炉さい	2.13	7.0	2.00
水さい	1.03	39.0	0.52

ことが分った。1年経過後は、転炉さいのくい上方から2/3程度の深さまで、転炉さいに水さいを加えたものでは、その全深さにわたって50を超えるN値になっている。この関係は図-1のうえに併記した。この現場実験では、普通砂とチップによるくいの試験も行なったが、その深さ方向のN値の分布は図-4に示すとおりであった。このくいでは、もちろん、日数の経過に伴なう固結効果は現われない。

6. 軟弱地盤改良工法としての設計計算 現在、軟弱地盤改良を目的としたサンドコンパクションパイル工法の設計計算<sup>13)</sup>は、砂柱と原軟弱土からなる複合地盤として、本研究で求めたような $\phi$ を初め、置換率( $A_s/A$ :複合地盤面積,  $A_s$ :砂ぐいの断面積), 応力分担比 $\pi$ (= $\sigma_s/\sigma_c$ ,  $\sigma_s$ ,  $\sigma_c$ :それぞれ砂ぐいおよび粘土部分の発生応力), 粘土の一軸圧縮強さ $\sigma_u$ , その仮定した増加分 $\Delta\sigma_u$ を用いて、複合地盤の円弧すべりに関するせん断抵抗に着目した安全率の大きさを検討することによって行なわれている。したがって、前掲の図-1の室内実験から得られた $\phi$ の値を $\pi$ にもとづいて選定し、また応力分担比を仮定すれば、打設直後の支持力計算が可能となる。しかし、現場実験から明らかにされたような固結性を設計にとり入れようとする場合には、材料の固化に伴なうくいの $\phi$ の増加だけでなく粘着力値が大きく付加されるので、計算は複雑になる。

7. 結び 転炉さいおよびそれに水さいを加えた場合のコンパクションパイルの性質、とくに転炉さいの $\phi$ の値を初めて掲示したことは、この材料の軟弱地盤改良のためのこの材料の実用性を一步進めたものと考えるが、それに水さいを添加した場合の数値の掲示と、長期強度をとり入れた設計計算表については今後継続開発しなければならない研究課題として残されている。この研究は、著者の一人阿南が昭和49年度試験研究員(4月~9月)として行ない、助手の松田滋代、小倉鉱化(株)の猿渡謙代に多大な援助をうけたことを付記し深甚の謝意を表したい。

文献 1) 不動建設(株)研究室編: コンポーザーシステムのための設計マニュアル, 昭.46.1.

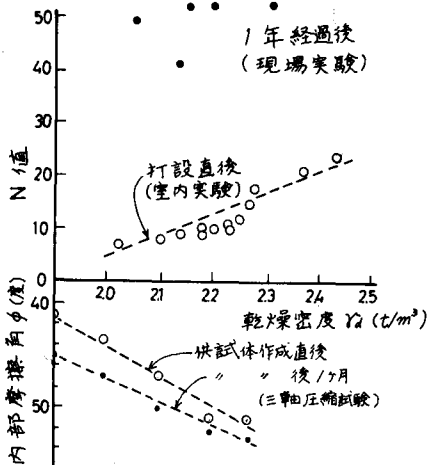


図-1 転炉さいにおける $\phi$ - $\gamma_d$ -N 関係

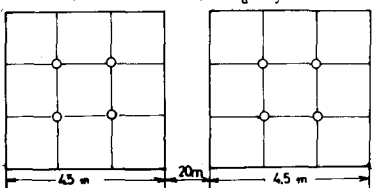


図-2 現場実験における転炉さいおよび転炉さい+水さいのくいの配置図

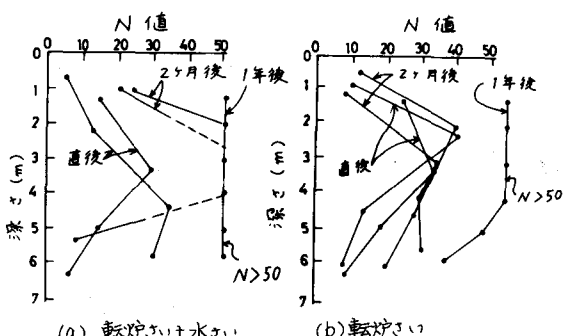


図-3 転炉さいおよび転炉さい+水さいのくいの深さ方向のN値分布状態

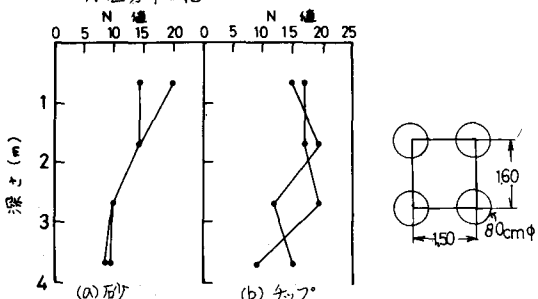


図-4 砂ぐいおよびチップぐいの深さ方向のN値の分布状態